

ANEXO FIGURAS

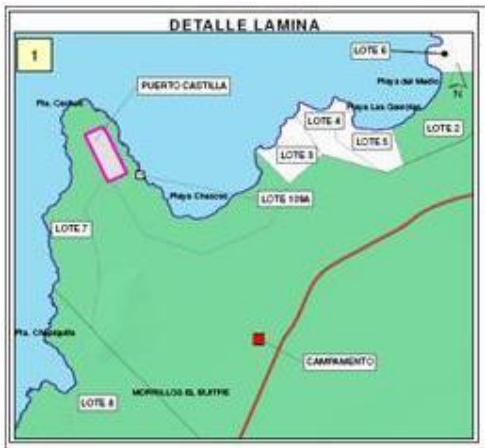
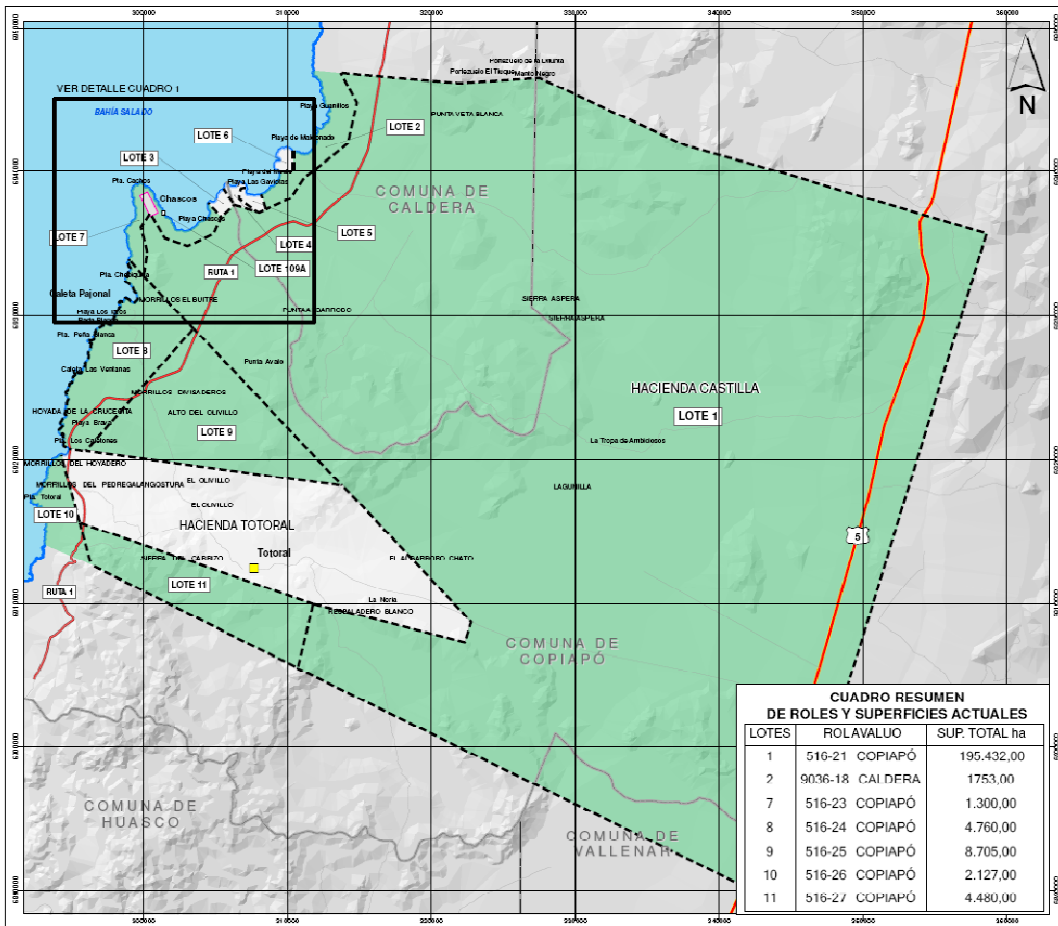


Figura 2.1.i)-1 Límite Predial. Plan de Trabajo para el Aprovechamiento Sustentable de Formaciones Xerofíticas. EIA Puerto Castilla.

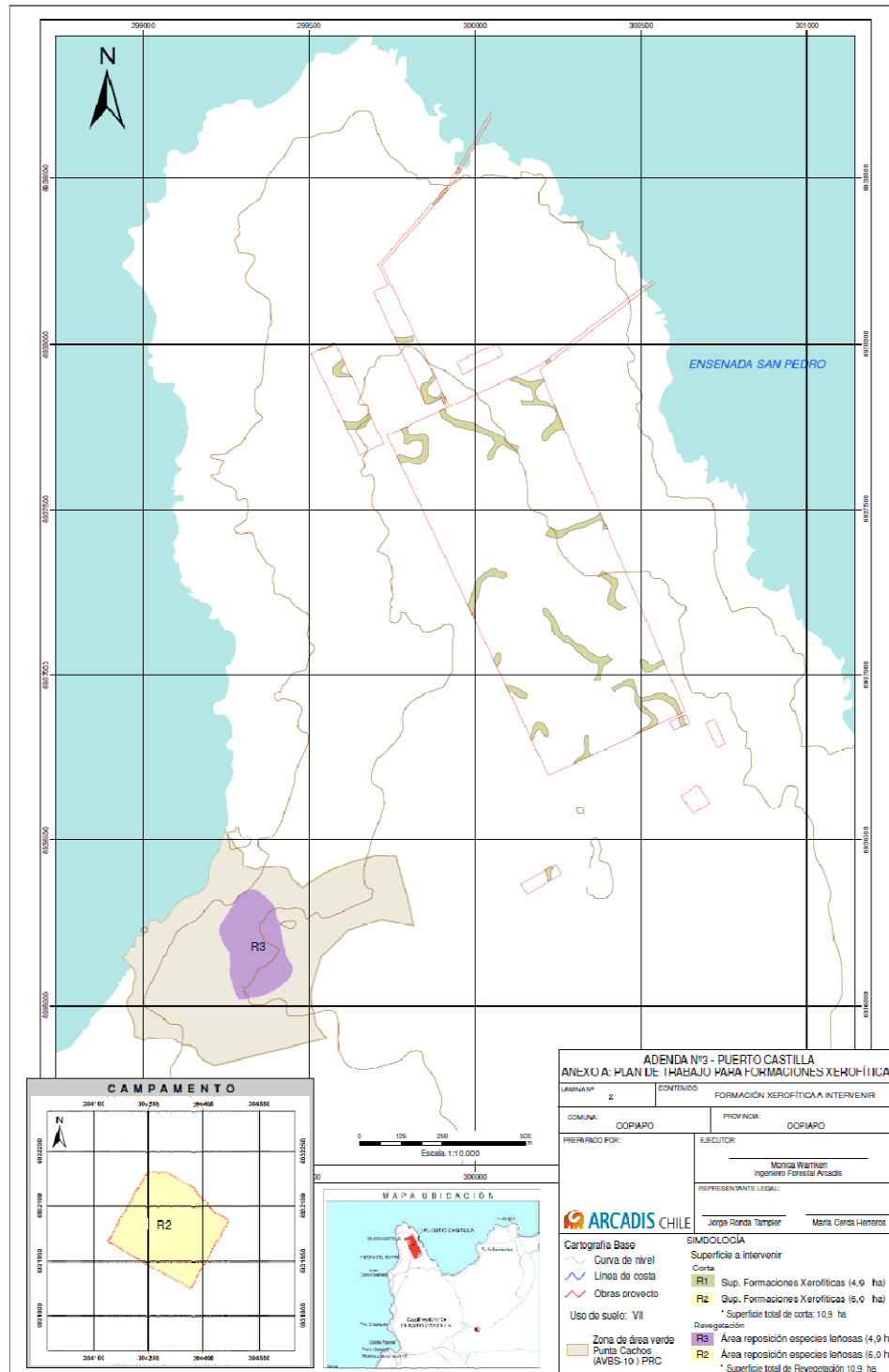


Figura 2.1.i)-2 Formaciones xerofíticas a intervenir. Plan de Trabajo para el Aprovechamiento Sustentable de Formaciones Xerofíticas. EIA Puerto Castilla.

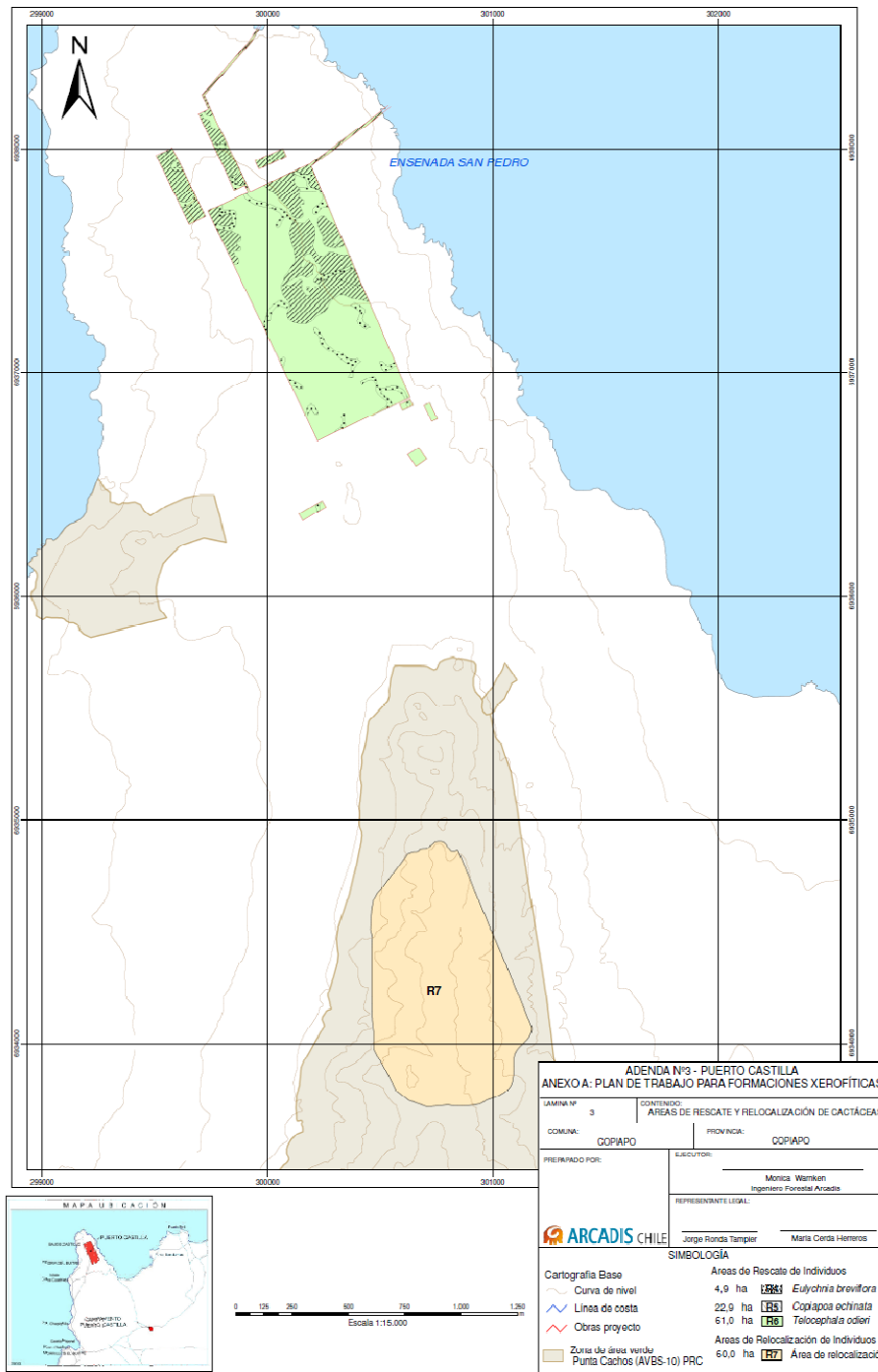


Figura 2.1.i)-3 Áreas de Rescate y Relocalización de Cactáceas. Plan de Trabajo para el Aprovechamiento Sustentable de Formaciones Xerófitas. EIA Puerto Castilla.

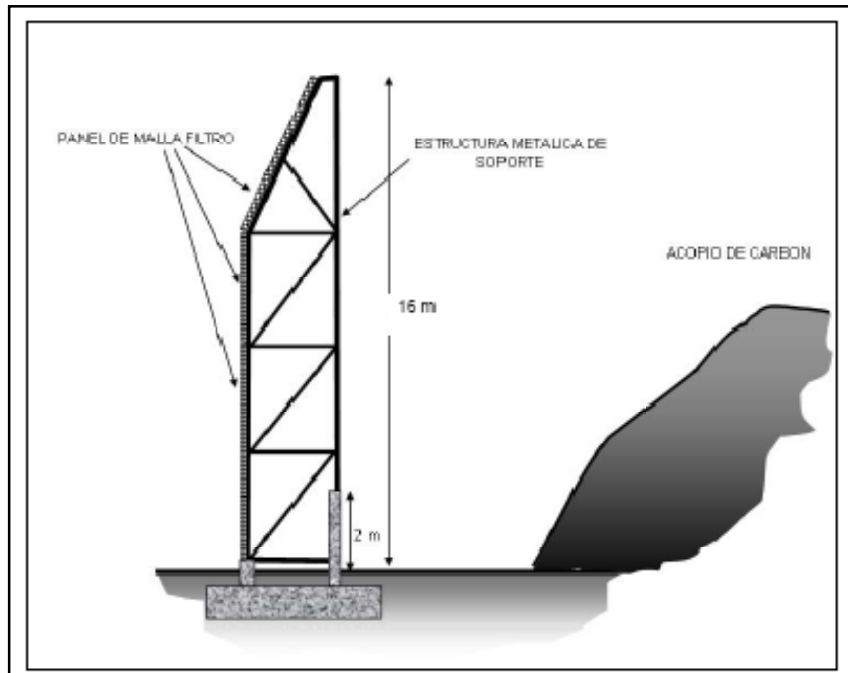


Figura 3.1.a)-1 Ejemplo perfil estructural de la malla cortaviento, prevista para zona de acopios en Puerto Castilla.



Figura 3.1.a)-2 Sistema supresor de polvo.

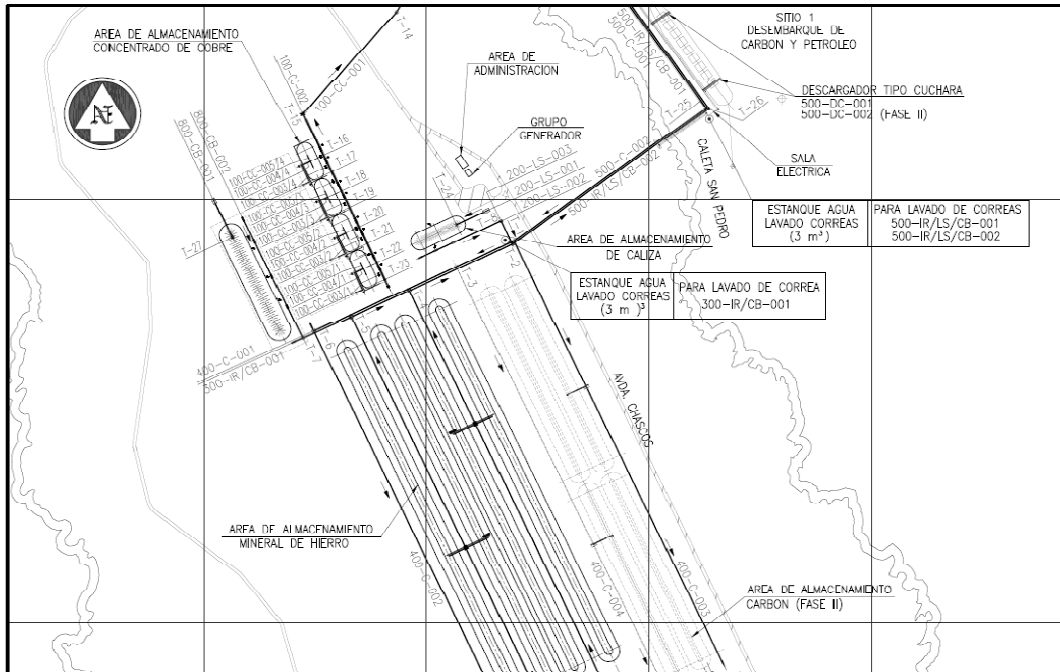


Figura 3.1.b)-1 Ubicación estanques para almacenamiento de agua de lavado de correas



Figura 3.1.d)-1 Puntos de monitoreo de ruido.

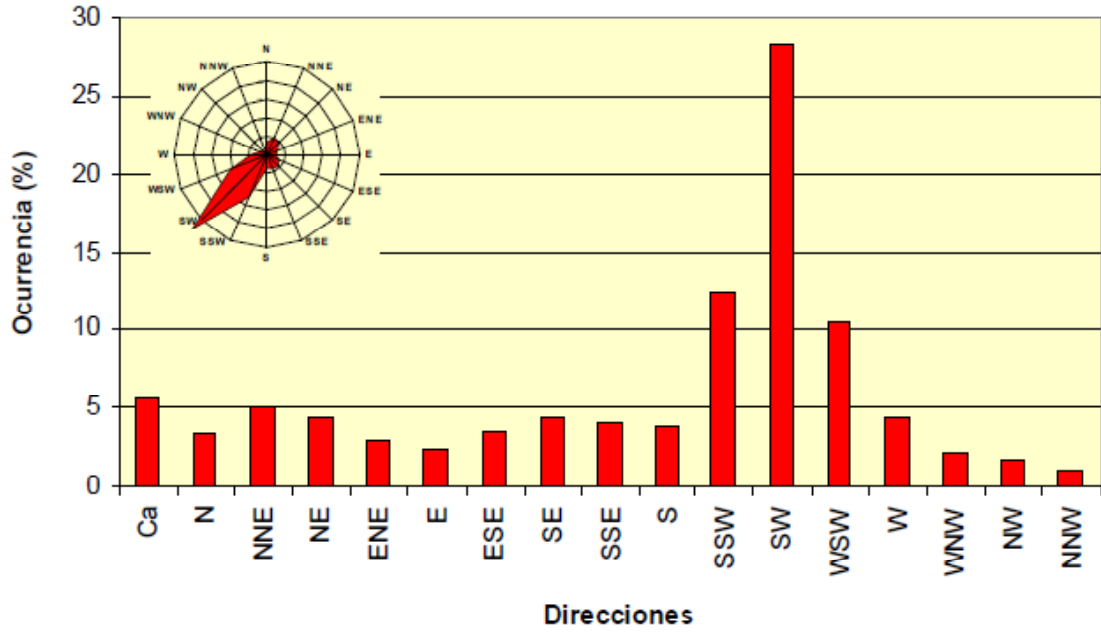


Figura 5.1.b)-1 Histograma de direcciones de vientos. Punta Cachos, campaña de verano. EIA Puerto Castilla.

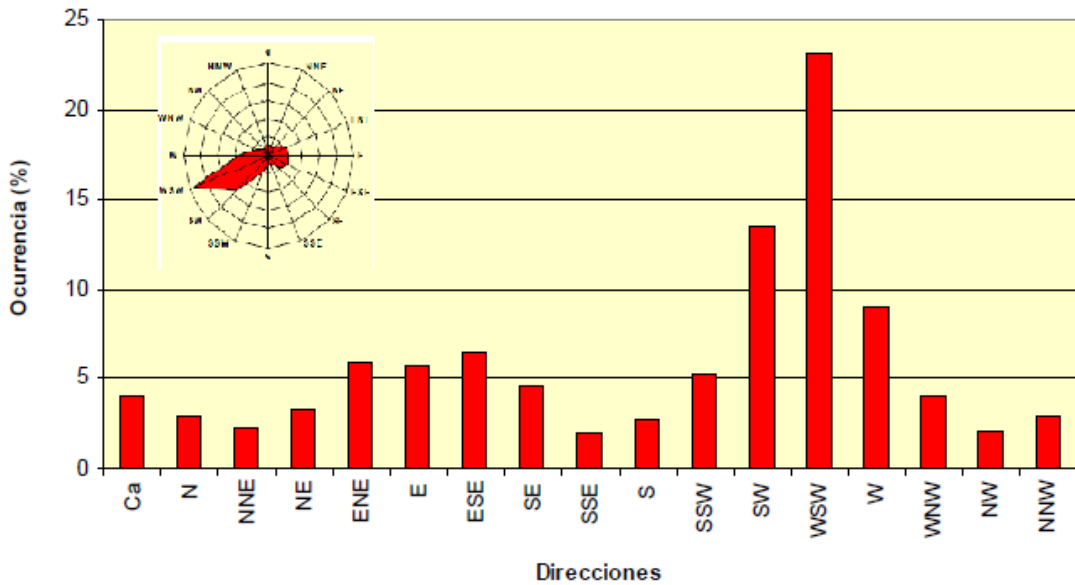


Figura 5.1.b)-2 Histograma de direcciones de vientos. Punta Cachos, campaña de invierno. EIA Puerto Castilla.

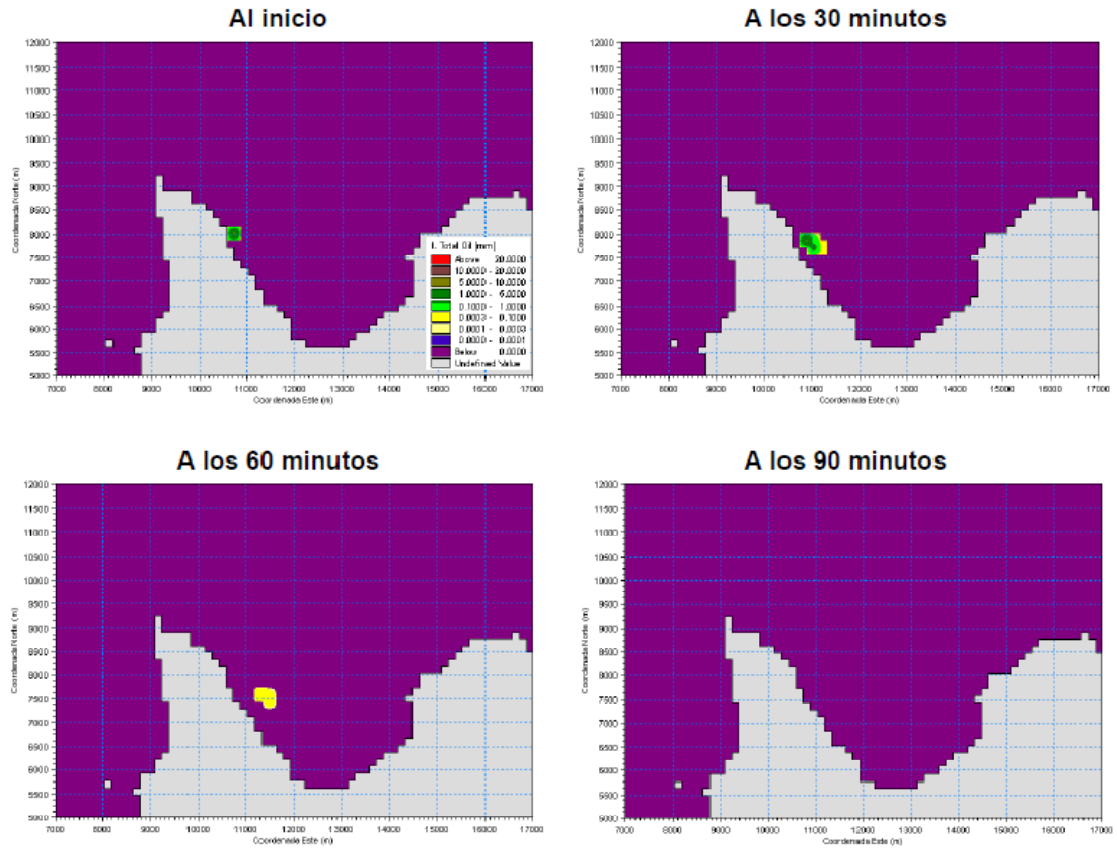


Figura 5.1.b)-3 Desplazamiento de un derrame de 200 toneladas de Diesel A1 bajo condiciones de viento N constantes de 11,32 m/s (viento máximo).

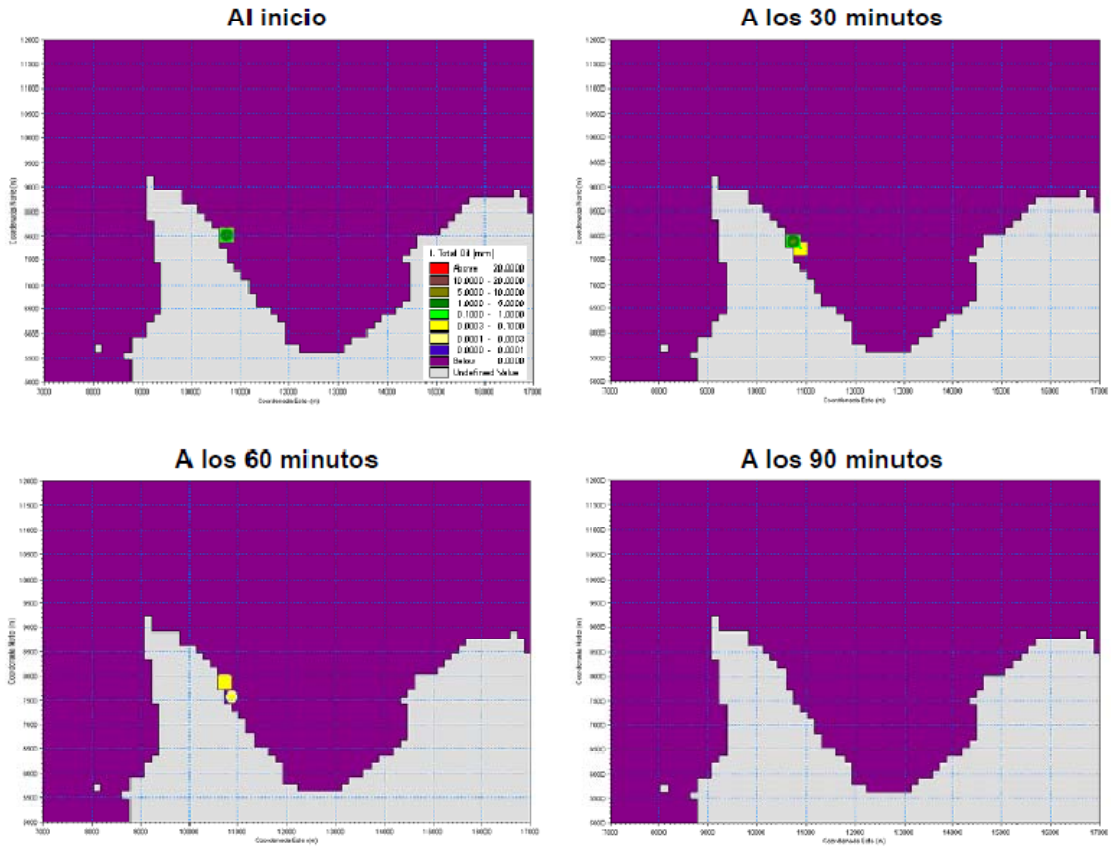


Figura 5.1.b)-4: Desplazamiento de un derrame de 200 toneladas de Diesel A1 bajo condiciones de viento N constantes de 2,5 m/s (viento promedio).

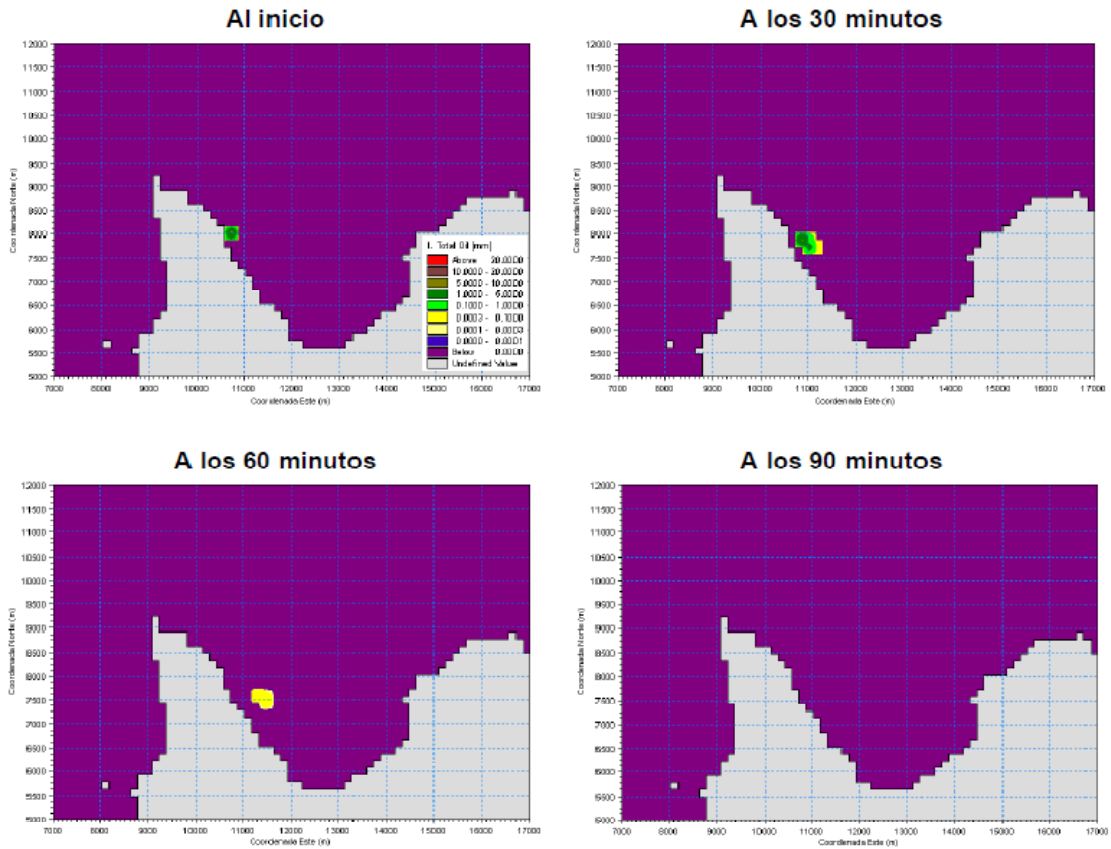


Figura 5.1.b)-5 Desplazamiento de un derrame de 200 toneladas de Diesel A1 bajo condiciones de viento NW constante de 11,32 m/s (viento máximo).

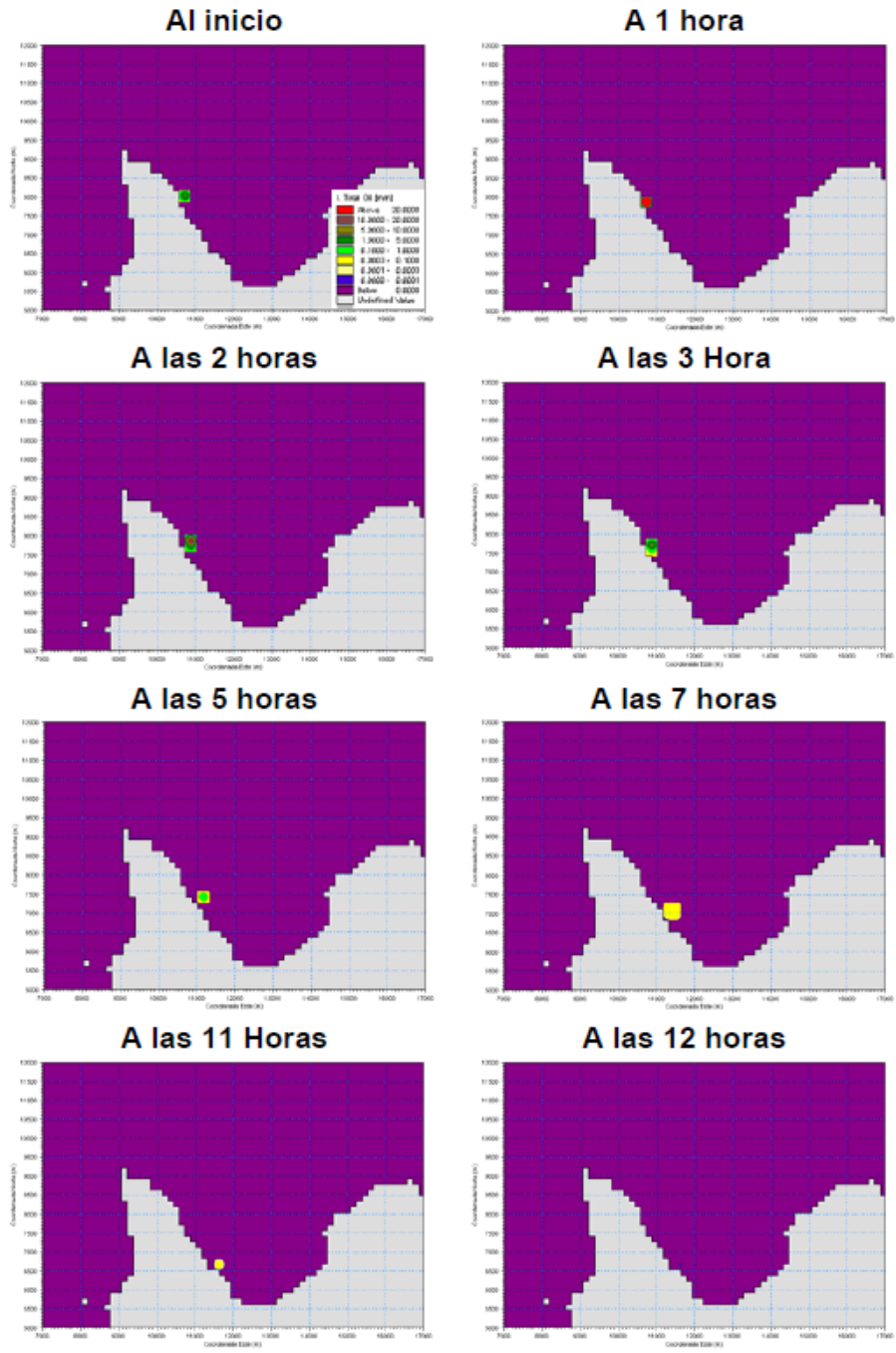


Figura 5.1.b)-6 Desplazamiento de un derrame de 200 toneladas de Diesel A1 bajo condiciones de viento NW constantes de 2,5 m/s (viento promedio).



Figura 5.1.b)-7. Esquema de desplazamiento de la mancha de diesel producto del derrame de 200 toneladas en invierno. Se indica la posición de la mancha en horas desde el momento de inicio del derrame. Cada contorno corresponde a una concentración secuencial de petróleo de una apariencia plateada, esto es, una mancha de un espesor $<0,0001$ mm (ver detalle en **Anexo C**).



Figura 5.1.b)-8 Esquema de desplazamiento de la mancha de diesel producto del derrame de 200 toneladas en verano. Se indica la posición de la mancha en horas desde el momento de inicio del derrame. Cada contorno corresponde a una concentración secuencial de petróleo de una apariencia plateada, esto es, una mancha de un espesor $<0,0001$ mm (ver detalle en **Anexo C**).



Figura 5.1.c1)-1 Dominio de la nueva modelación Liberación Accidental de Minerales e Hidrocarburos al Medio Acuático en los Alrededores Puerto Castilla – Bahía Chascos.



Figura 5.2-1 Vías de acceso a Puerto Castilla, previstas para la operación del proyecto.



Figura 6.1-b)-1 Monitoreo de fauna en islote ubicado al extremo oeste de Punta Cachos.



Figura 6.3.a)-1 Fotomontaje con vista desde el sector SE hacia el sector de emplazamiento del proyecto, desde una distancia de 4 km.



Figura 6.3.a)-2 Fotomontaje con vista desde el sector SE hacia el sector de emplazamiento del proyecto, tomada desde 5 km de distancia.



Figura 6.3.a)-3 Fotomontaje con vista desde el sector SE hacia el sector de emplazamiento del proyecto, desde una distancia de 6 km de distancia.



Figura 6.3.a)-4 Diseño preliminar y conceptual para el desarrollo turístico y recreacional, sector Caleta Pajonales.

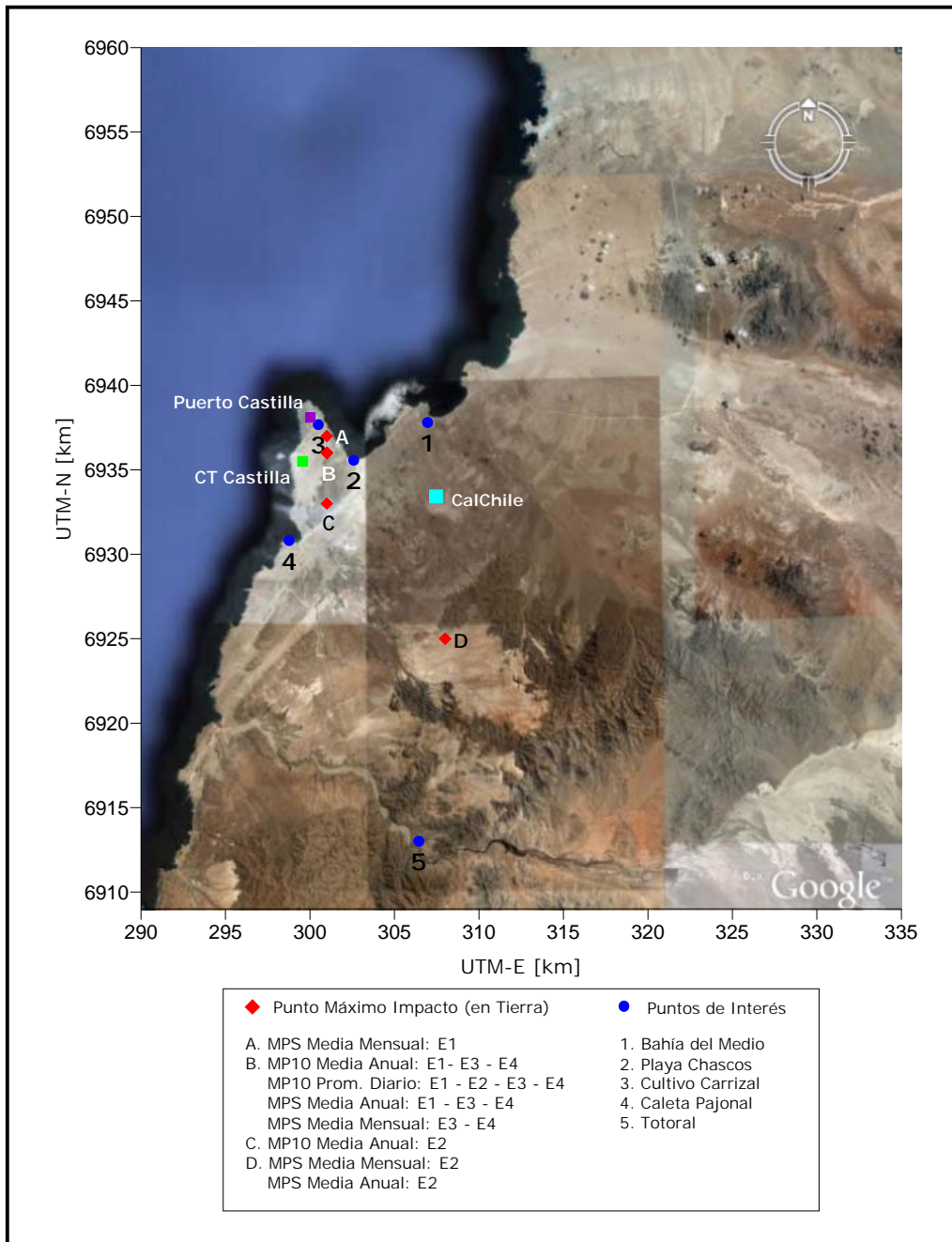


Figura 7.4 a)-1: Ubicación Puntos de Máximo Impacto MP10 (Zona Despoblada).

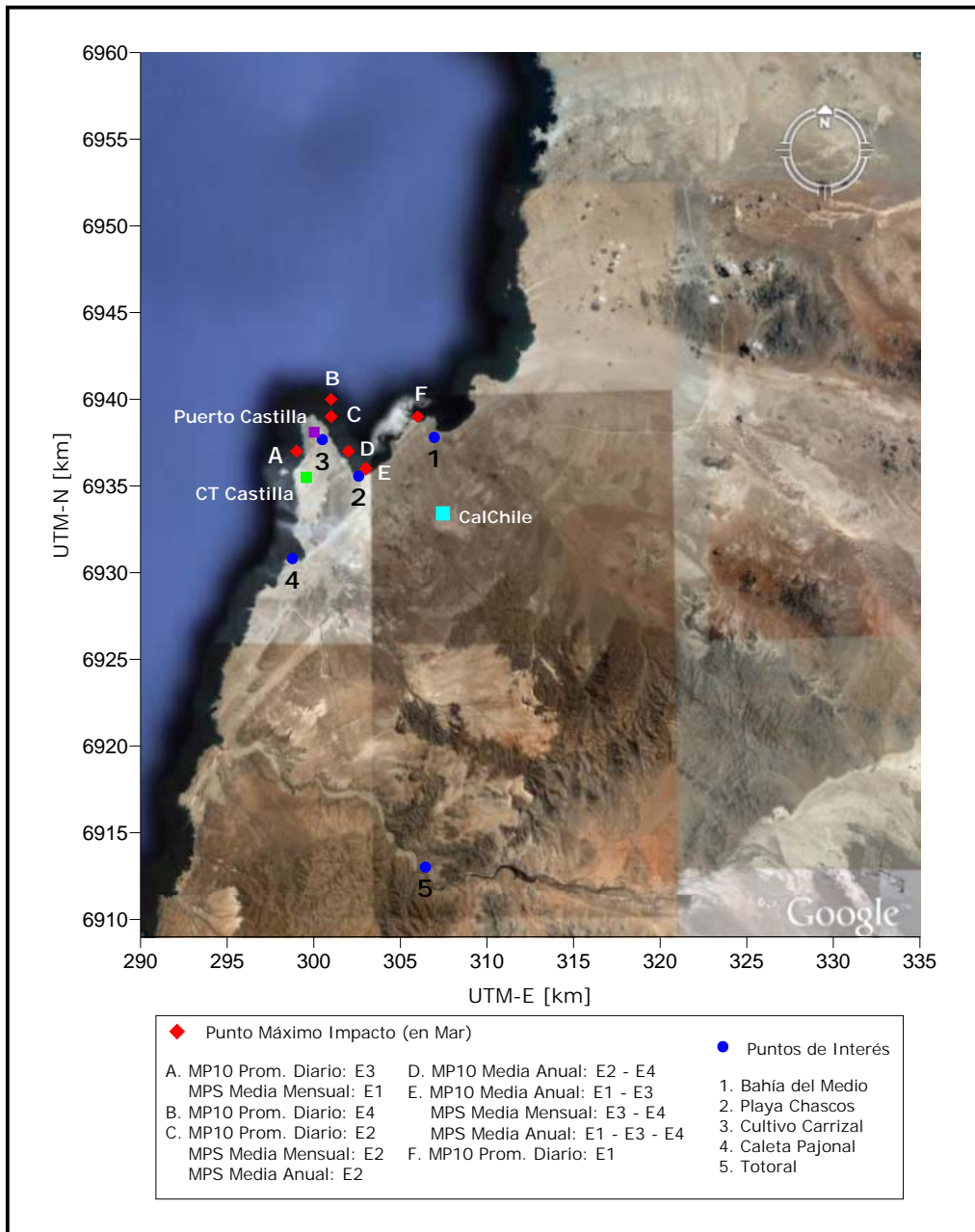
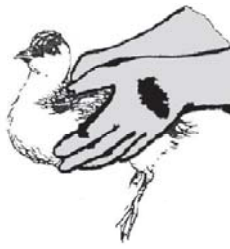


Figura 7.4.a)-2: Ubicación Puntos de Máximo Impacto MP10 en el Mar.

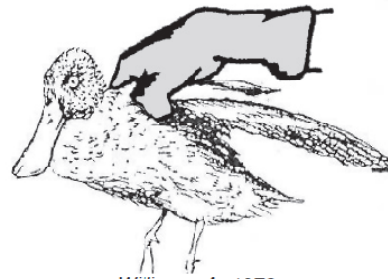


Williams, A. 1978.

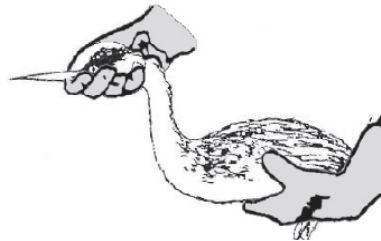
Fotografía 8.1-1:
Manipulación de
aves pequeñas.



Williams, A. 1978.

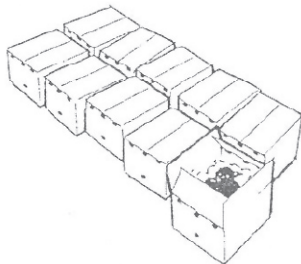


Williams, A. 1978.



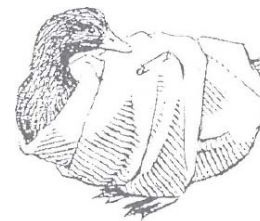
Williams, A. 1978.

Fotografía 8.1-2: Ilustración del manejo de aves de distintos tamaños.



Williams, A. 1978.

Fotografía 8.1-3:
Transporte de aves en
caja ventilada o jaula.



Williams, A. 1978.

Fotografía 8.1-4:
Cubrimiento del cuerpo
de un ave empetrolada.

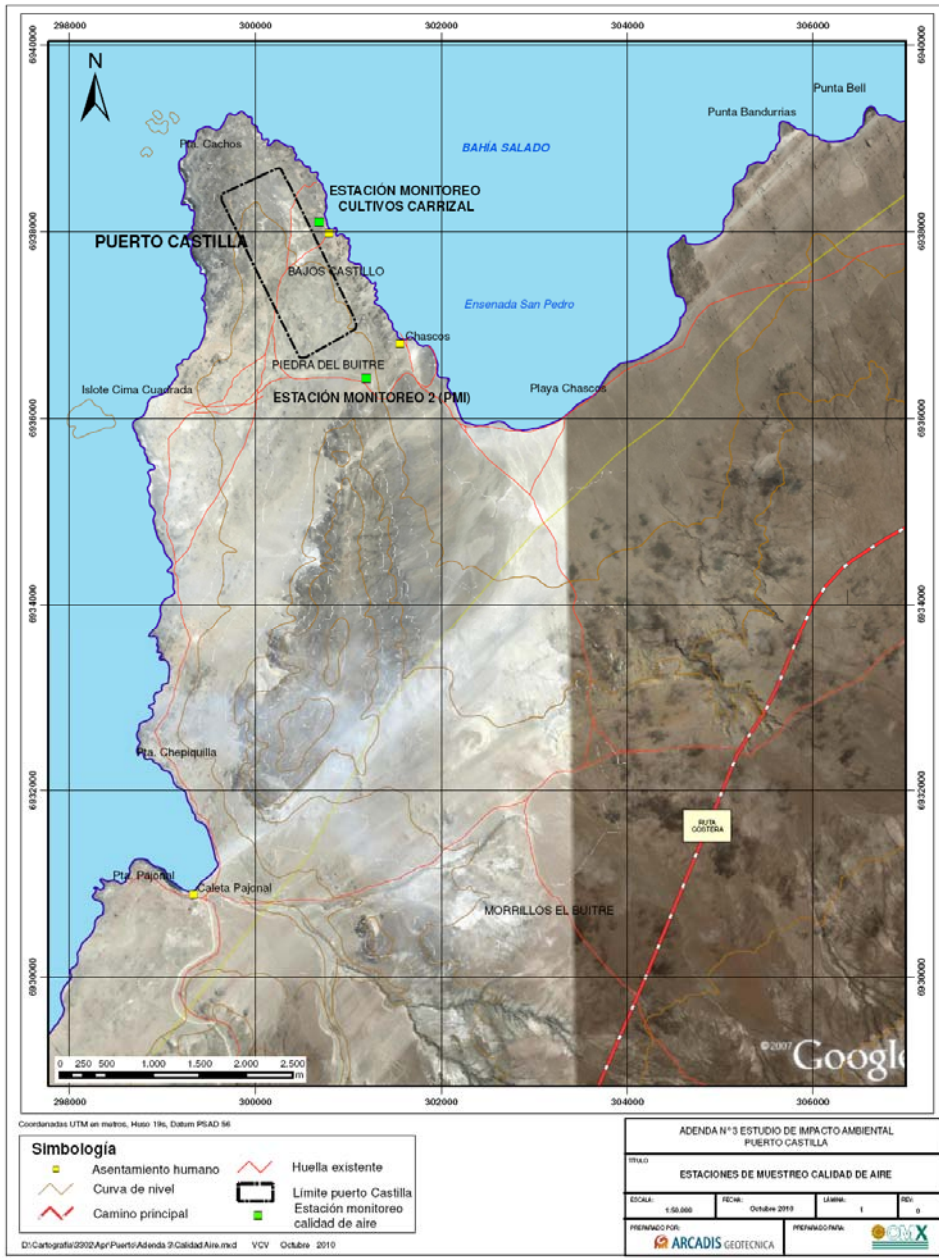


Figura 9.2.a)-1: Localización estaciones de monitoreo de aire.